

03

## Неустойчивость течения в сферическом слое при вращательных колебаниях внутренней границы

© Д.Ю. Жиленко, О.Э. Кривоносова

Институт механики Московского государственного университета  
им. М.В. Ломоносова, Москва, Россия  
E-mail: jilenko@imec.msu.ru

Поступило в Редакцию 20 сентября 2017 г.

Численно исследована неустойчивость течений вязкой несжимаемой жидкости в тонком сферическом слое, вызванных вращательными колебаниями внутренней сферы относительно состояния покоя. Установлено, что при увеличении частоты вращательных колебаний происходит изменение вида неустойчивости с переходом от вторичных течений в виде вихрей Тейлора к ранее не наблюдавшимся структурам. Обнаруженная неустойчивость наблюдается в диапазоне частот от 0.61 до 2.45 Hz, или при длинах волн, отнесенных к толщине слоя, от 0.67 до 1.33.

DOI: 10.21883/PJTF.2018.11.46191.17049

Течения, вызванные вращательными колебаниями, могут применяться для определения реологических свойств жидкостей [1] и интенсификации фильтрации [2]. Поскольку периодические возмущения скорости могут влиять на переход к турбулентности [3,4], необходима информация о пределе устойчивости и структуре вторичных течений [1,5]. Особый интерес представляет вопрос о возможной зависимости структур вторичных течений и вида неустойчивости от частоты колебаний. В цилиндрическом тонком слое  $\beta = (r_2 - r_1)/r_1 = 0.087$ , где  $r_{1,2}$  —

внутренний и внешний радиусы, по измерениям полей скорости такая зависимость обнаружена [1,5]. В пределе низких частот наблюдались структуры, похожие на вихри Тейлора, в пределе высоких — похожие на вихри Гертлера, о структурах при промежуточных частотах информации нет. В сферическом слое с  $\beta = 4.3$  [6] при вращательных колебаниях внутренней сферы структура вторичных течений в двумерных расчетах остается постоянной в широком диапазоне изменения частоты. При других величинах  $\beta$  зависимость вида неустойчивости от частоты в сферических слоях ранее не рассматривалась.

Целью настоящей работы является численное исследование зависимости вида структур вторичного течения и предела устойчивости от частоты при вращательных колебаниях внутренней сферы относительно состояния покоя. Для качественного сравнения с [1,5] выбран тонкий слой  $\beta = 0.19$ , в котором при постоянной скорости вращения внутренней сферы на пределе устойчивости формируются вихри Тейлора [7].

Течение вязкой несжимаемой жидкости в сферическом слое описывается уравнениями Навье–Стокса и неразрывности

$$\frac{\partial \mathbf{U}}{\partial t} = \mathbf{U} \times \text{rot } \mathbf{U} - \text{grad} \left( \frac{p}{\rho} + \frac{\mathbf{U}^2}{2} \right) - \nu \text{rotrot } \mathbf{U}, \quad \text{div } \mathbf{U} = 0.$$

Используется сферическая система координат с радиальным ( $r$ ), полярным ( $\theta$ ) и азимутальным ( $\varphi$ ) направлениями. Условия прилипания и непротекания на границах имеют вид

$$u_\varphi(r = r_k) = \Omega_k(t) r_k \sin \theta, \quad u_r(r = r_k) = 0, \quad u_\theta(r = r_k) = 0,$$

$k = 1, 2$  (1 — внутренняя сфера, 2 — внешняя). Здесь  $\mathbf{U}$ ,  $p$ ,  $\rho$  — скорость, давление и плотность жидкости,  $u_\varphi$ ,  $u_r$ ,  $u_\theta$  — соответственно азимутальная, радиальная и полярная компоненты скорости,  $\Omega_k$  — угловая скорость вращения соответствующей сферы,  $\nu$  — кинематическая вязкость жидкости в слое. Скорость вращения внутренней сферы периодически изменяется:  $\Omega_1(t) = A \sin(2\pi f t)$ ,  $A$ ,  $f$  — амплитуда и частота модуляции. Внешняя сфера неподвижна:  $\Omega_2 = 0$ . Использовались алгоритм и программа численного решения [8,9] с конечно-разностной схемой дискретизации уравнений Навье–Стокса по пространству и полунявной схемой Рунге–Кутты для интегрирования по времени. Дискретизация по пространству проводилась с уменьшением размера ячеек вблизи границ (по  $r$ ) и плоскости экватора (по  $\theta$ ). Отношение

Осредненные за период модуляции величины  $E_\varphi$  и  $E_\psi$  после потери устойчивости при  $Re_1 = 115.5$  и  $L = 2$  в зависимости от количества узлов сетки  $N$

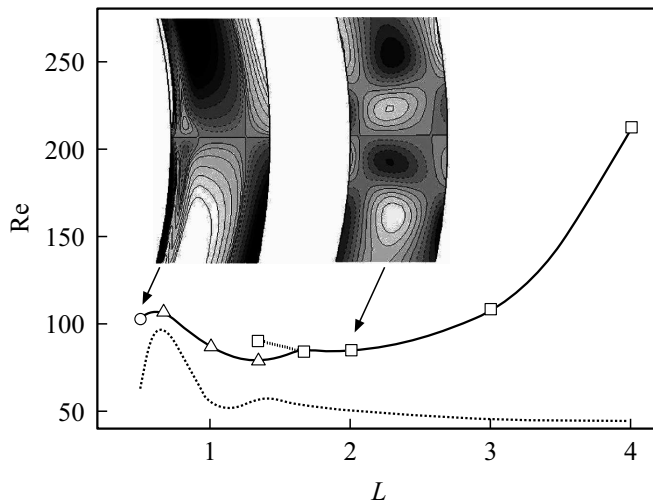
$N \cdot 10^{-5}$	$E_\varphi \cdot 10^2, m^2 \cdot s^{-2}$	$E_\psi \cdot 10^4, m^2 \cdot s^{-2}$
2.26	1.2862	3.732
2.95	1.2869	3.713
3.73	1.2874	3.701
4.01	1.2875	3.697
4.61	1.2877	3.692

максимального размера ячейки к минимальному изменялось от 2 до 5 с общим количеством узлов до  $4.6 \cdot 10^5$ . Проведены методические расчеты для определения зависимости осредненных величин кинетической энергии течения от размеров сетки (см. таблицу). Расчеты проведены при следующих размерных параметрах:  $\nu = 5 \cdot 10^{-5} m^2/s$ ,  $r_1 = 0.126 m$ ,  $r_2 = 0.15 m$ ,  $f = 0.0682-4.363 Hz$ , в этом случае толщина динамического пограничного слоя

$$\delta = \sqrt{\frac{\nu}{\pi f}} = (1.91-15.3) \cdot 10^{-3} m,$$

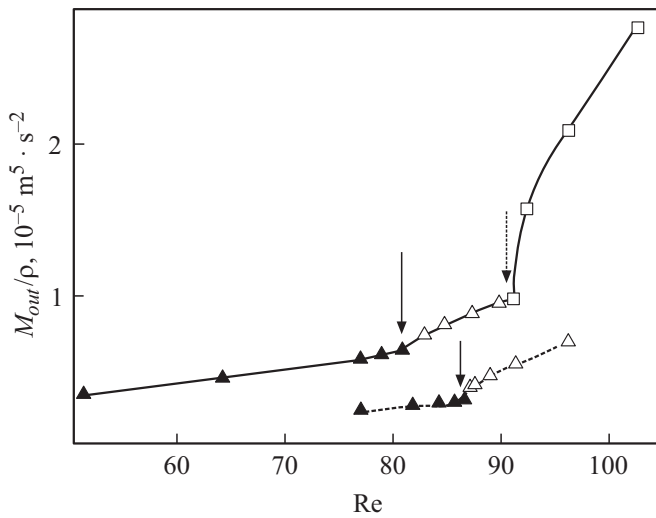
минимальный размер  $\delta$  соответствует семи узлам расчетной сетки. Характер течения зависит от величин  $A, f, r_1, r_2, \nu$  и определяется тремя параметрами подобия. В качестве одного из них используется относительная толщина слоя  $\beta$ . Поскольку в вязкой несжимаемой жидкости могут существовать волны, затухающие по мере удаления от создающей их колеблющейся поверхности [10], в качестве двух других параметров подобия выбраны безразмерная длина волны  $L = \lambda/(r_2-r_1)$ , где  $\lambda = 2\pi\delta$ , и число  $Re = \frac{Ar_1^2}{\nu} \frac{\delta}{r_1}$  [6]. Колебания внутренней сферы вызывают циркуляцию в меридиональной плоскости течения [6,11], подобную циркуляции при постоянной скорости вращения [7], но периодически изменяющуюся с удвоенной частотой модуляции, и эволюция такого течения во времени до потери им устойчивости уже достаточно хорошо изучена (например, в [6]). Структура течений определялась по виду азимутальной компоненты завихренности [10] в меридиональной плоскости  $\omega_\varphi$

$$\omega_\varphi = \frac{1}{rr'} \frac{\partial ru_\theta}{\partial r} - \frac{1}{r\theta'} \frac{\partial u_r}{\partial \theta}.$$



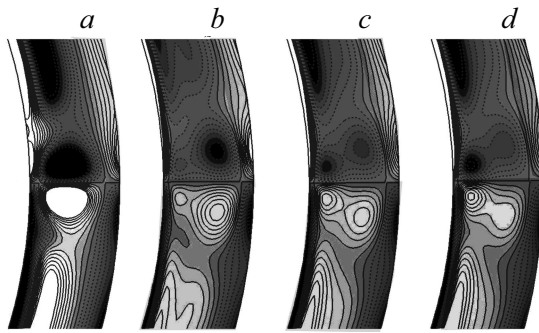
**Рис. 1.** Предел устойчивости (сплошная линия) и разность фаз колебаний  $E_\varphi$  и  $E_\psi$  (пунктирная линия). Показаны уровни  $\omega_\varphi$  [ $\text{s}^{-1}$ ] ( $-10 < \omega_\varphi < 10$ ): справа — вихри Тейлора при  $L = 2$ ,  $\text{Re} = 84.7$ ,  $\Delta\omega_\varphi = 2$  (квадраты); слева — вихри Гертлера при  $L = 0.5$ ,  $\text{Re} = 105.9$ ,  $\Delta\omega_\varphi = 0.5$  (кружок). Пунктирные линии для уровней  $\omega_\varphi$  соответствуют направлению вращения против часовой стрелки. Треугольниками показана неустойчивость при промежуточных длинах волн.

До потери устойчивости с увеличением  $f$  декремент затухания азимутальной скорости в радиальном направлении увеличивается [11], что приводит к уменьшению  $M_{out}$  — амплитуды момента сил трения, передаваемого на внешнюю сферу. Вблизи предела устойчивости (и до, и после него) течение симметрично относительно оси вращения и плоскости экватора. Все параметры течения изменяются с частотами  $f$  или  $2f$ . Так же как и в [8], в качестве начальных условий использовались закритические значения  $\text{Re}$ . Предел устойчивости определялся путем уменьшения  $\text{Re}$  при  $f = \text{const}$  по виду структуры течения, величине  $M_{out}$  и отношению  $E_\psi/E_\varphi$  ( $E_\varphi = \int u_\varphi^2$ ,  $E_\psi = \int (u_r^2 + u_\theta^2)$  — азимутальная и меридиональная составляющие кинетической энергии течения, определяемые интегрированием по всему объему сферического слоя). Установлено, что после потери устойчивости в течении вблизи плос-



**Рис. 2.** Зависимость величины  $M_{out}$ , нормированной на плотность жидкости, от числа  $Re$  при  $L = 1.33$  (сплошная линия) и  $L = 1.0$  (пунктирная линия). Темные символы соответствуют устойчивому течению, светлые символы — неустойчивому. Первая бифуркация показана стрелками со сплошной линией, вторая — пунктирной стрелкой.

кости экватора формируются нестационарные тороидальные структуры, характерный размер которых уменьшается с уменьшением  $L$ , а меридиональная циркуляция (МЦ) оттесняется к полюсам. В случае длинных волн ( $1.66 \leq L \leq 4$ ) на пределе устойчивости формируются хорошо изученные к настоящему времени вихри Тейлора с направлением вращения, противоположным направлению МЦ (правая вставка на рис. 1), их формирование и распад происходит с гистерезисом. При  $L \leq 2$  вихри существуют во время всего цикла колебаний. При  $L = 4$  они наблюдаются практически в течение всего цикла, за исключением двух небольших интервалов при приближении  $\Omega_1(t)$  к  $A$  ( $0.075 < tf < 0.177$  и  $0.581 < tf < 0.676$ , где  $t$  — время от начала цикла колебаний, левые границы интервалов соответствуют распаду вихрей, правые — началу формирования), при  $L = 3$  — в области максимума  $\Omega_1(t)$  ( $0.12 < tf < 0.3$  и  $0.6 < tf < 0.8$ ). Вихри Тейлора изменяют свою



**Рис. 3.** Распределение уровней  $\omega_\varphi$  [ $\text{s}^{-1}$ ] в меридиональной плоскости течения при  $L = 1.33$  и  $\text{Re} = 80.8$ ,  $-8 < \omega_\varphi < 8$ ,  $\Delta\omega_\varphi = 1$ .  $tf = 0, 0.5$  (a);  $0.25, 0.75$  (b);  $0.28, 0.78$  (c);  $0.3, 0.8$  (d).  $t$  — время от начала цикла колебаний.

конфигурацию в течение периода колебаний: при формировании они вытянуты в радиальном направлении, к моменту распада размеры по  $r$  и  $\theta$  близки. Предел устойчивости для вихрей Тейлора (квадраты на рис. 1) имеет минимум при  $1.66 \leq L \leq 2$ . Вихри Тейлора наблюдаются и при  $L = 1.33$ , но в этом случае они формируются выше предела устойчивости: самый левый квадрат на рис. 1 ( $\text{Re} = 91.1$ ) и квадраты на рис. 2, но течение устойчиво при  $\text{Re} \leq 80.9$ .

Таким образом, при  $L = 1.33$  переходу к вихрям Тейлора предшествует другой вид неустойчивости. Такой вид неустойчивости наблюдается в интервале промежуточных длин волн  $0.67 \leq L \leq 1.33$  (треугольники на рис. 1 и 2), структура вторичного течения в этом случае показана на рис. 3. Направление вращения вихрей вблизи плоскости экватора совпадает с направлением МЦ, а характерный масштаб не превышает половины толщины слоя. Рассмотрим эволюцию этих структур во времени. С увеличением  $\Omega_1(t)$  от 0 (рис. 3, a) до  $A$  (рис. 3, b) одиночные вихри оттесняются от внутренней сферы и от плоскости экватора, формируются два вихря, вихрь с максимальной величиной  $\omega_\varphi$  расположен ближе к внешней границе. Далее, при уменьшении  $\Omega_1(t)$  (рис. 3, c), происходит быстрое перераспределение  $\omega_\varphi$ : максимум смещается к внутренней сфере, затем этот максимум усиливается (рис. 3, d), и течение

возвращается к первоначальному состоянию (рис. 3, *a*). Минимум предела устойчивости наблюдается вблизи  $L = 1.33$ . При  $L < 1.33$  увеличение  $Re$  сопровождается не переходом к вихрям Тейлора, а переходом к течению без осевой и экваториальной симметрии, но с сохранением направления вращения вихрей во вторичном течении.

В случае коротких волн ( $L = 0.5$ ) на пределе устойчивости после прохождения экстремумов ( $0.28 < tf < 0.31$  и  $0.78 < tf < 0.81$ ) вблизи внутренней сферы и плоскости экватора формируются вихри с характерным масштабом много меньше толщины слоя (левая вставка на рис. 1). Характерный размер, направление вращения (противоположное направлению МЦ) и резкое изменение величины  $\omega_\varphi$  вблизи внутренней сферы позволяют предположить, что в этом случае наблюдаются вихри Гертлера, вызванные неустойчивостью динамического пограничного слоя. Вероятно, при  $L = 0.67$  неустойчивость в виде вихрей Гертлера предшествует неустойчивости при промежуточных длинах волн (рис. 3), так же как неустойчивость при промежуточных длинах волн предшествует вихрям Тейлора при  $L = 1.33$  (рис. 1).

Таким образом, при вращательных колебаниях внутренней сферы в тонком слое  $\beta = 0.19$  наблюдается три вида неустойчивости, и каждому виду соответствует свой диапазон изменения  $L$ . Границы диапазонов можно определить по положению максимумов как предела устойчивости, так и разности фаз между  $E_\varphi$  и  $E_\psi$  в зависимости от  $L$  (рис. 1). Торoidalные структуры, формирующиеся на пределе устойчивости вблизи плоскости экватора, в случае коротких ( $L \leq 0.5$ ) и длинных ( $L \geq 1.67$ ) волн качественно соответствуют результатам экспериментов [1,5], и для них направление вращения противоположно направлению МЦ. При неустойчивости, обнаруженной в настоящей работе при промежуточных длинах волн ( $0.67 \leq L \leq 1.33$ ,  $2.45 \geq f \geq 0.61$  Hz), направления вращения вихрей и МЦ совпадают. Результаты расчетов показывают, что для дальнейшего экспериментального подтверждения обнаруженной неустойчивости необходимы измерения не только полей скорости (как это сделано, например, в [1,5]), но и величин моментов сил трения.

Работа выполнена при финансовой поддержке РФФИ (проекты № 16-05-00004 и 18-08-00074).

**Список литературы**

- [1] *Fardin M., Perge C., Casanellas L., Hollis T., Taberlet N., Ortin J., Lerouge S., Manneville S.* // *Rheol Acta*. 2014. V. 53. N 12. P. 885–898.
- [2] *Jaffrin M.* // *Ann. Rev. Fluid Mech.* 2012. V. 44. N 1. P. 77–96.
- [3] *Жиленко Д.Ю., Кривоносова О.Э.* // *Письма в ЖТФ*. 2015. Т. 41. В. 1. С. 12–19.
- [4] *Бунтин Д.А., Маслов А.А.* // *Письма в ЖТФ*. 2017. Т. 43. В. 13. С. 65–72.
- [5] *Fardin M., Perge C., Taberlet N., Manneville S.* // *Phys. Rev. E*. 2014. V. 89. N 1. P. 011001.
- [6] *Hollerbach R., Wiener R., Sullivan I., Donnelly R., Barenghi C.* // *Phys. Fluids*. 2002. V. 14. N 12. P. 4192–4205.
- [7] *Беляев Ю.Н., Яворская И.М.* // *Итоги науки и техники. Сер. Механика жидкости и газа*. 1980. Т. 15. С. 3–80.
- [8] *Nikitin N.* // *J. Comp. Phys.* 2006. V. 217. N 2. P. 759–781.
- [9] *Кривоносова О.Э.* *Переход к стохастичности в широком сферическом слое при встречном вращении границ: прямой расчет и эксперимент. Автореф. канд. дис. М.: МГУ, 2007. 17 с.*
- [10] *Ландау Л.Д., Лифшиц Е.М.* *Теоретическая физика. Т. 6. Гидродинамика. 3-е изд. М.: Наука, 1986. 736 с.*
- [11] *Жиленко Д.Ю., Кривоносова О.Э.* // *Письма в ЖЭТФ*. 2016. Т. 104. В. 8. С. 552–559.